

打込み鋼管杭の静的載荷試験と急速載荷試験および地盤調査 (SPT, CPT) より求めた荷重一変位関係の比較
(その1: 試験・調査概要)

荷重一変位関係	杭支持力	正会員○大野 雅幸*	正会員 亀井 秀一**	正会員 林 世峻***
静的載荷試験	急速載荷試験	正会員 北條 豊****	正会員 仲 優太朗*****	正会員 山本 伊作*****
経験式	打込み鋼管杭	正会員 渡邊 康司*****	正会員 松本 樹典*****	

1. はじめに

株地盤試験所では、猿島試験場において打込み鋼管杭の静的載荷試験 (SLT) と急速載荷試験 (RLT) の比較実証試験を行った。これに伴い、標準貫入試験 (SPT) とコーン貫入試験 (CPT) を実施した。

前回の報告 (仲他 2023, 亀井他 2023) では、各種基準で示されている経験式から評価される最大先端支持応力 q_b および最大周面摩擦応力 τ_f を SLT および RLT から求まつた結果と比較した。

本報告では SPT N 値と CPT の補正コーン先端抵抗 q_t を利用して杭頭の荷重一変位関係を推定した。それらを SLT および RLT 結果と比較した。

2. 地盤条件

図-1 は、地盤調査結果 (SPT-N 値, CPT- q_t)、杭の打設深さおよび計測項目・位置を示す。

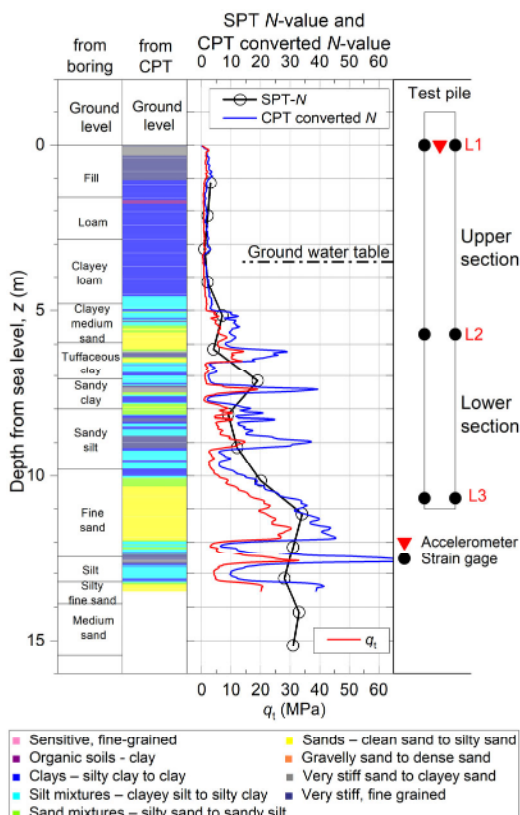


図-1 地盤調査結果、杭打設深さおよび計測項目・位置

Comparison of load-displacement relations of a driven steel pipe pile from SLT, RLT and those estimated from different design codes and shear moduli from CPT and SPT (Part 1: Outline)

3. 杭仕様

試験鋼管杭の仕様を表-1 に示す。試験杭には、ひずみゲージおよび加速度計の保護のために溝型鋼を溶接した。

表-1 試験杭の仕様

Item	Value	
	without protection	with protection
Pile length, L (m)	11.8	
Embedment length, L_d (m)	11.0	
Outer diameter, D_o (mm)	318.5	
Inner diameter, D_i (mm)	305.3	
Wall thickness, t_w (mm)	6.6	
Cross-sectional area, A (m^2)	0.0065	0.0093
Circumferential length, U (m)	1.00	1.20
Young's modulus, E (MPa)	205	
Density, ρ (ton/m ³)	7.81	
Bar wave velocity, c (m/s)	5123	
Mass, m (ton)	0.610	0.819

4. 荷重一変位関係の推定方法

4.1 地盤のせん断弾性係数の推定

杭の荷重一変位関係の計算には、地盤のせん断弾性係数 G の推定が不可欠である。

表-2 および表-3 は、SPT の N 値と CPT の q_t を利用した S 波速度 V_s の推定式である。

表-2, 表-3 の経験式より求めた V_s を用いて地盤の初期せん断弾性係数 G_0 を式(1)により推定した。

$$G_0 = V_s^2 \rho \quad (1)$$

ここで、 ρ : 土の密度

表-2 N 値を利用した S 波速度 V_s の推定式 (洪積層)
(内田他 2019)

粘性土	$V_s = 130N^{0.29}$ (m/s)
砂質土	$V_s = 110N^{0.30}$ (m/s)
礫質土	$V_s = 140N^{0.26}$ (m/s)

OHNO Masayuki, KAMEI Shuichi, LIN Shihchun,
HOJO Yutaka, NAKA Yutaro, YAMAMOTO Isaku,
WATANABE Koji, MATSUMOTO Tatsunori

表-3 q_t を利用した S 波速度 V_s の推定式 (Robertson, 2009)

$Q_{tl} = (q_t - \sigma_{vo}) / \sigma'_{vo}$
$F_r = [f_s / (q_t - \sigma_{vo})] \times 100\%$
$I_c = [(3.47 - \log Q_{tl})^2 + (\log F_r + 1.22)^2]^{0.5}$
$\alpha_{vs} = 10^{(0.55I_c + 1.68)} (\text{m/s}^2)$
$V_s = [\alpha_{vs} (q_t - \sigma_{vo}) / p_a]^{0.5} (\text{m/s})$
$q_t = \text{corrected cone resistance},$
$f_s = \text{sleeve friction},$
$\sigma_{vo} = \text{in situ total vertical stress},$
$\sigma'_{vo} = \text{in situ effective vertical stress},$
$p_a = \text{atmospheric pressure} \approx 100 \text{ kPa}$

4.2 杭-地盤系モデル

図-2 に杭-地盤系モデルを示す。杭は一連の線形弾性ばねとしてモデル化され、各杭節点では非線形の地盤抵抗挙動が考慮されている。静的な杭頭荷重に対する杭全体の応答は一次元 FEM を用いて計算した。

図-2 の地盤抵抗要素は以降で示す地盤定数から求める (Randolph and Deeks, 1992)。閉塞杭の単位面積当たりの先端抵抗の初期ばね剛性を式(2)に、単位面積当たりの周面抵抗の初期ばね剛性を式(3)に示す。また、影響半径 r_m を式(4)に示す。

$$k_{b0} = \frac{4G_0}{\pi r_o (1-\nu)} \quad (2)$$

$$k_{s0} = \frac{G_0}{r_o} \frac{1}{\ln(r_m/r_o)} \quad (3)$$

$$r_m = 2.5L(1-\nu) \quad (4)$$

ここで、 r_o : 杭半径, ν : 土のポアソン比, L : 杭の根入れ長

地盤抵抗の非線形挙動を表現するために、Chow (1986) に従い式(5), 式(6)のようにばね剛性を変化させた。

$$k_b = k_{b0} \cdot \left(1 - R_{fb} \cdot \frac{q}{q_b} \right) \quad (5)$$

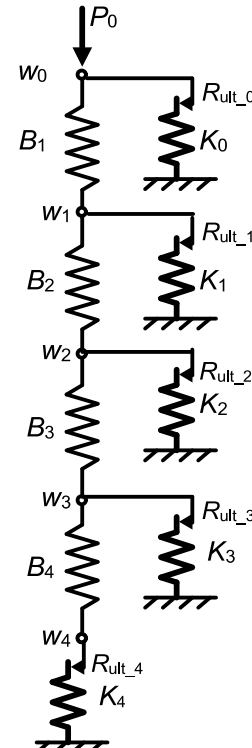
$$k_s = k_{s0} \cdot \left(1 - R_{fs} \cdot \frac{\tau}{\tau_f} \right) \quad (6)$$

ここで、 R_{fb} , R_{fs} : k_b , k_s の低減係数

q , τ : 動員先端抵抗応力, 動員周面抵抗応力

地盤のはね剛性は、杭先端面積または各要素の周面積に対して積分される。

最大先端支持応力 q_b および最大周面摩擦応力 τ に関しては、はじめに述べた通り各種基準式を用いて設定した。



杭各節点の最大抵抗力 R_{ult} は q_b および τ を杭先端面積または各要素の周面積に対して積分して決定する。

各節点の地盤ばね K も同様に地盤のはね剛性を杭先端面積または各要素の周面積に対して積分して決定する。

図-2 静的鉛直力載荷時の杭-地盤系モデル

5. おわりに

本報告 (その 2) で、比較・検討結果を述べる。

参考文献

- 仲 他 (2023) : 打込み鋼管杭に対する各種基準の評価式による最大先端支持応力 q_b および最大周面摩擦応力 f_s の比較
(その 1 : 試験概要), 日本建築学会大会 (近畿)
- 亀井 他 (2023) : 打込み鋼管杭に対する各種基準の評価式による最大先端支持応力 q_b および最大周面摩擦応力 f_s の比較
(その 2 : 比較結果), 日本建築学会大会 (近畿)
- 内田 他 (2019) : N 値による S 波速度の推定に関する一考察, 日本建築学会技術報告集 第 25 卷 第 59 号, pp.119-122.
- Robertson, P. K. (2009). Interpretation of cone penetration tests – a unified approach. Canadian Geotechnical Journal, 46, pp.1337-1355.
- Randolph, M. F. & Deeks, A. J. (1992). Dynamic and static soil models for axial response. Proc. 4th Int. Conf. Application of Stress Wave Theory to Piles, The Hague, A.A. Balkema Publishers, Brookfield VT, pp.3-14.
- Chow, Y. K. (1986) Analysis of vertically loaded pile groups. Int. Journal for Numerical and Analytical Methods in Geomechanics, 10(1), pp.59-72.

*	株地盤試験所	主任・工学修士
**	株地盤試験所	部長・工学学士
***	株地盤試験所	主任・理学修士
****	株地盤試験所	課長・理学学士
*****	株地盤試験所	主任・理学修士
*****	株地盤試験所	代表取締役・工学修士
*****	愛知工業大学	准教授・工学博士
*****	金沢大学	名誉教授・工学博士

* Chief Engineer, Jibanshikenjo Co. Ltd., Ms. Eng.
** Director, Jibanshikenjo Co. Ltd., Bc. Eng.
*** Chief Engineer, Jibanshikenjo Co. Ltd., Ms. Science
**** Section Chief, Jibanshikenjo Co. Ltd., Bc. Science
***** Chief Engineer, Jibanshikenjo Co. Ltd., Ms. Science
***** CEO, Jibanshikenjo Co. Ltd., Ms. Eng.
***** Assoc. Prof., Aichi Institute of Technology, Dr. Eng.
***** Emeritus Prof., Kanazawa University, Dr. Eng.